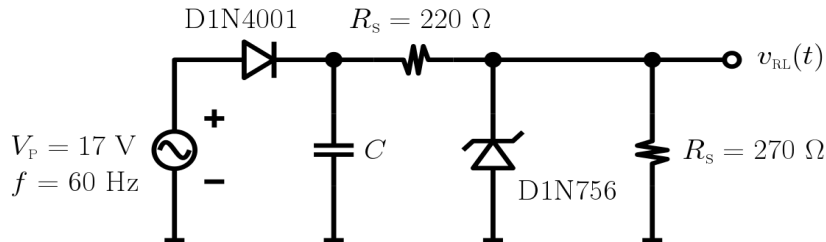


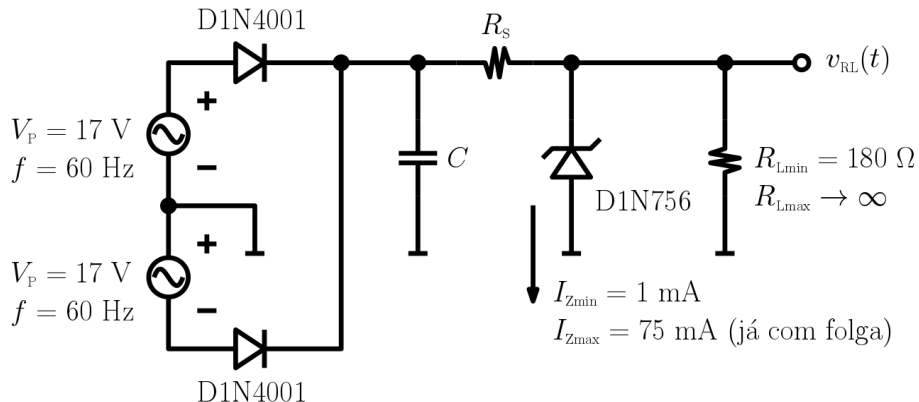
1. Desenhe uma fonte DC regulada usando o diodo Zener D1N756, um transformador de 127:12+12 volts (60 Hz), dois diodos D1N4001, um capacitor e um resistor interno. Calcule o capacitor e o resistor interno de modo que a fonte seja capaz de alimentar resistores de carga de  $680\ \Omega$  ou mais, com fator de *ripple* inferior a 5% no capacitor e corrente inferior a 70 mA (já com folga) no diodo Zener.

2. Considere o diagrama esquemático dado a seguir:



- a) Calcule  $C$  para que o fator de ripple no capacitor seja inferior a 5%. Ao usar a equação dada no formulário, corrija o fator 4 de maneira adequada a este diagrama esquemático;  
 b) Considerando  $C = 330\ \mu F$ , calcule o fator de regulação desta fonte.

3. Considere o circuito a seguir:



- a) Calcule  $C$  e  $R_s$  de forma a atender às especificações indicadas na figura utilizando o menor capacitor comercial possível.  
 b) Calcule o fator de ripple na carga resistiva.  
 c) Calcule o fator de regulação desta fonte DC.

Observação: em todos os exercícios, explique as suas escolhas de modelos para o diodo Zener.

$$(\text{Filtro RC}) r = I_{DC}/(4\sqrt{3}fCV_m) = V_{AC,RMS}/V_{DC}; (1 + r\sqrt{3})V_{DC} = V_m; V_{AC,RMS} = V_{R,P}/\sqrt{3} = (V_2 - V_1)/(2\sqrt{3});$$

$$(\text{Fonte Regulada a Zener}) r_{RL} = r_{\text{capacitor}} \frac{r_z}{R_s + r_z} \frac{V_{DC,\text{capacitor}}}{V_z}; \text{fator de regulação} = \frac{V_{DC,NL} - V_{DC,FL}}{V_{DC,NL}} \times 100\%;$$

$$(V_1 - V_z)/R_{smax} = I_{zmax} + I_{Lmin} \quad (\text{use esta fórmula com moderação e com cuidado!})$$

$$(V_2 - V_z)/R_{smin} = I_{zmin} + I_{Lmax} \quad (\text{use esta fórmula com moderação e com cuidado!})$$

Alguns valores de resistores comerciais ( $\Omega$ ): 33, 47, 68, 82, 100, 120, 150, 180, 220, 270;

Alguns valores de capacitores comerciais ( $\mu F$ ): 47, 68, 100, 220, 330, 470, 680.

## Dados e Lista de Equações

$1 \text{ eV} = 1.6 \times 10^{-19} \text{ J}$ ; silício:  $E_g = 1.12 \text{ eV}$ ; diamante:  $E_g = 5.47 \text{ eV}$ ; germânio:  $E_g = 0.66 \text{ eV}$ ;

Silício:  $n_i = 5.2 \times 10^{15} T^{3/2} \exp \frac{-E_g}{2kT}$  elétrons/cm<sup>3</sup>; germânio:  $n_i = 1.66 \times 10^{15} T^{3/2} \exp \frac{-E_g}{2kT}$  elétrons/cm<sup>3</sup>;

Silício a 300 K:  $n_i = 1.08 \times 10^{10} \text{ cm}^{-3}$ ;

Constante de Boltzmann:  $k = 1.38 \times 10^{-23} \text{ J/K}$ ; densidade do silício intrínseco:  $5 \times 10^{22} \text{ átomos/cm}^3$ ;

Semicondutor intrínseco e dopagem:  $np = n_i^2$ ; fósforo e arsênio são “doadores”; boro e gálio são “aceitadores”;

vetor velocidade, elétrons e lacunas:  $v_e = -\mu_n E$  e  $v_h = \mu_p E$ . No silício:  $\mu_n = 1350 \text{ cm}^2/(\text{Vs})$  e  $\mu_p = 480 \text{ cm}^2/(\text{Vs})$ ;

No germânio:  $\mu_n = 3900 \text{ cm}^2/(\text{Vs})$  e  $\mu_p = 1900 \text{ cm}^2/(\text{Vs})$ ;

Densidade de corrente (deriva):  $J_{tot} = q(\mu_n n + \mu_p p) E$ , proveniente de  $I = -vWhnq$ ;  $q = 1.6 \times 10^{-19} \text{ C}$ ;

Saturação de velocidade:  $v = \frac{\mu_0}{1 + \frac{\mu_0}{v_{sat}} E} E$

Dens. de corrente (difusão):  $J_{tot} = q \left( D_n \frac{dn}{dx} - D_p \frac{dp}{dx} \right)$ , prov. de  $I = AqD_n \frac{dn}{dx}$ ;  $D_n = 34 \text{ cm}^2/\text{s}$  e  $D_p = 12 \text{ cm}^2/\text{s}$ ;

Concentração exponencial de elétrons ao longo do eixo  $x$ :  $n(x) = Ne^{-x/L_d}$ ;

Relação de Einstein:  $D/\mu = kT/q$ ; observação:  $kT/q \approx 26 \text{ mV} @ T = 300 \text{ K}$ ;

Barreira de potencial:  $V(x_2) - V(x_1) = \frac{-D_p}{\mu_p} \ln \frac{p_p}{p_n} \implies |V_0| = \frac{kT}{q} \ln \frac{p_p}{p_n} = \frac{kT}{q} \ln \frac{N_A N_D}{n_i^2}$ , prov. de  $q\mu_p p E = qD_p \frac{dp}{dx}$ ;

Junção pn em polarização reversa:  $C_j = C_{j0}/\sqrt{1 - \frac{V_R}{V_0}}$ ;  $C_{j0} = \sqrt{\frac{\epsilon_{Si} q}{2} \frac{N_A N_D}{N_A + N_D} \frac{1}{V_0}}$ ;  $\epsilon_{Si} = 11.7 \times 8.85 \times 10^{-14} \text{ F/cm}$ ;

Polarização direta:  $p_{n,f} = \frac{p_{p,f}}{\exp \frac{V_0 - V_F}{V_T}}$ , e também  $\Delta p_n = p_{n,f} - p_{n,e} = \frac{N_A}{\exp(V_0/V_T)} \left( \exp \left( \frac{V_F}{V_T} \right) - 1 \right)$ ;

$I_D = I_S(e^{\frac{V_D}{nV_T}} - 1)$ , onde  $I_S = Aqn_i^2 \left( \frac{D_n}{N_A L_n} + \frac{D_p}{N_D L_p} \right)$ ;  $n$  = fator de não-idealidade do diodo;

Aproximação com  $V_{D0} = 0.6 \text{ V}$  e  $r_d = 10 \Omega$ :  $V_D = 0.6 + 10I_D$ ;

Polarização reversa:  $|\Delta T| = 10 \log_2 \frac{I_{D,f}}{I_{D,i}}$ ; diodo Zener em polarização reversa:  $I_Z = I_S \exp \frac{V_Z - V_{ZK}}{nV_T}$ ;

**Tabela 1.** Alguns dados sobre o diodo D1N4001.  $I_S = 14.1 \text{ nA}$  e  $n = 1.98$ .

| $I_D$ (A)  | $2 \mu$ | $5 \mu$ | $10 \mu$ | $20 \mu$ | $50 \mu$ | $0.1 \text{ m}$ | $0.2 \text{ m}$ | $0.5 \text{ m}$ | $1 \text{ m}$ | $2 \text{ m}$ | $5 \text{ m}$ | $10 \text{ m}$ | $20 \text{ m}$ |
|------------|---------|---------|----------|----------|----------|-----------------|-----------------|-----------------|---------------|---------------|---------------|----------------|----------------|
| $V_D$ (mV) | 255     | 301     | 337      | 372      | 419      | 455             | 490             | 538             | 573           | 609           | 656           | 692            | 727            |

**Tabela 2.** Alguns dados sobre o diodo D1N756 em polarização direta.

| $I_D$ (A)  | $2 \mu$ | $5 \mu$ | $10 \mu$ | $20 \mu$ | $50 \mu$ | $0.1 \text{ m}$ | $0.2 \text{ m}$ | $0.5 \text{ m}$ | $1 \text{ m}$ | $2 \text{ m}$ | $5 \text{ m}$ | $10 \text{ m}$ | $20 \text{ m}$ |
|------------|---------|---------|----------|----------|----------|-----------------|-----------------|-----------------|---------------|---------------|---------------|----------------|----------------|
| $V_D$ (mV) | 378     | 429     | 467      | 505      | 554      | 589             | 621             | 658             | 683           | 708           | 743           | 777            | 825            |

**Tabela 3.** Alguns dados sobre o diodo D1N756 em polarização reversa (considere  $V_{ZK} = 8.0 \text{ V}$ ).

| $I_Z$ (A)           | $2 \mu$ | $5 \mu$ | $10 \mu$ | $20 \mu$ | $50 \mu$ | $0.1 \text{ m}$ | $0.2 \text{ m}$ | $0.5 \text{ m}$ | $1 \text{ m}$ | $2 \text{ m}$ | $5 \text{ m}$ | $10 \text{ m}$ | $20 \text{ m}$ |
|---------------------|---------|---------|----------|----------|----------|-----------------|-----------------|-----------------|---------------|---------------|---------------|----------------|----------------|
| $V_Z - V_{ZK}$ (mV) | 020     | 032     | 041      | 050      | 063      | 072             | 081             | 094             | 105           | 117           | 138           | 161            | 200            |

$$V_{DC} = (1/T) \int_0^T v(t) dt; V_{RMS}^2 = (1/T) \int_0^T v^2(t) dt; V_{AC,RMS}^2 = V_{RMS}^2 - V_{DC}^2;$$

Senóide retificada (meia onda):  $V_{DC} = A/\pi$  e  $V_{RMS} = A/2$ ; senóide retificada (onda completa):  $V_{DC} = 2A/\pi$  e  $V_{RMS} = A/\sqrt{2}$ ; onda “dente-de-serra”:  $V_{DC} = (V_1 + V_2)/2$  e  $V_{AC,RMS} = V_{R,P}/\sqrt{3}$ , onde  $V_{R,P} = (V_1 - V_2)/2$ ;

$$P_{AVG} = (1/T) \int_0^T v(t)i(t) dt = V_{RMS}^2/R.$$